

STUDY KELAYAKAN HEAT EXCHANGER NOMOR 3 PADA KILANG PPSDM MIGAS CEPU

Arsal Naufal Yudhatama¹⁾

¹⁾Jurusan Teknik Mesin Universitas Negeri Surabaya, Kampus Ketintang Surabaya

Rahmanto Widiyantoro¹⁾, Ika Nurjannah²⁾

¹⁾Unit Kilang, PPSDM MIGAS Cepu, Blora, ²⁾Jurusan Teknik Mesin Universitas Negeri Surabaya, Kampus Ketintang Surabaya

Naskah diterima 31 05 2022; direvisi 15 05 2023; disetujui 15 05 2023
doi: <https://doi.org/10.24843/JEM.2022.v15.i01.p08>

Abstrak

Alat penukar panas merupakan suatu peralatan yang digunakan untuk mempertukarkan energi dalam bentuk panas antara aliran fluida yang berbeda suhu yang dapat terjadi melalui kontak langsung maupun tidak langsung. Salah satu tipe dari alat penukar kalor yang banyak dipakai adalah *Shell and Tube Heat Exchanger*. Namun dalam perawatannya kita perlu adanya evaluasi lapangan sebelum dilakukan maintenance. Metode evaluasi data lapangan selama 5(lima) hari dari *heat exchanger* ini lebih efisien karena kita tidak perlu mengevaluasi data lapangan setiap hari serta kita dapat mengetahui hasil lebih cepat jika dibandingkan dengan menggunakan data selama 1 bulan untuk mengetahui apakah alat penukar panas masih layak digunakan / dioperasikan selama 30 hari kedepan. Tujuan penulisan ini adalah untuk menentukan besar neraca panas, *Log Mean Temperature Different*, temperatur kalorik, luas daerah aliran, kecepatan aliran massa, bilangan Reynold, faktor perpindahan panas, bilangan Prandtl, koeffisien perpindahan panas, temperatur dinding *tube*, rasio viskositas, koeffisien perpindahan panas terkoreksi, *clean overall heat transfer coefficient*, *overall heat transfer coefficient design*, faktor pengotoran, *pressure drop*, dan effisiensi efektif dari alat penukar kalor. Hanya dengan menggunakan data awal dari *heat exchanger* yang meliputi suhu masuk serta suhu keluar dari *shell* dan *tube*, densitas, kapasitas produksi, dan spesifikasi alat dari *heat exchanger* selama 5(lima) hari.

Kata kunci : *Heat exchanger*, evaluasi, lima hari

Abstract

A heat exchanger is an equipment used to exchange energy in the form of heat between fluid flows of different temperatures that can occur through direct or indirect contact. One type of heat exchanger that is widely used is the Shell and Tube Heat Exchanger. However, in maintenance, we need a field evaluation before maintenance is carried out. This method of evaluating field data for 5 (five) days from a heat exchanger is more efficient because we do not need to evaluate field data every day and we can find out the results faster when compared to using data for 1 month to find out whether the heat exchanger is still suitable for use / operated for the next 30 days. The purpose of this paper is to determine the heat balance, Log Mean Temperature Different, caloric temperature, flow area, mass flow velocity, Reynolds number, heat transfer factor, Prandtl number, heat transfer coefficient, tube wall temperature, viscosity ratio, heat transfer coefficient. corrected, clean overall heat transfer coefficient, overall heat transfer coefficient design, impurity factor, pressure drop, and effective efficiency of the heat exchanger. Only by using initial data from the heat exchanger which includes the inlet and outlet temperatures of the shell and tube, density, production capacity, and equipment specifications of the heat exchanger for 5 (five) days.

Keywords: Heat exchanger, evaluation, five days

1. Pendahuluan

1.1. Latar Belakang

Alat penukar panas merupakan suatu peralatan yang digunakan untuk mempertukarkan energi dalam bentuk panas antara aliran fluida yang berbeda suhu yang dapat terjadi melalui kontak langsung maupun tidak langsung. Salah satu aplikasi dari prinsip pertukaran panas adalah pada penukar panas jenis pembuluh dan kawat (*wire and tube exchangers*). Penukar panas pembuluh dan kawat terdiri dari pembuluh koil dan kawat yang dilas atau dipasang pada pembuluh dengan arah normal dan saling berhadapan. Penukar panas ini termasuk jenis

penukar panas permukaan diperluas (*extended surface*). Kawat yang berfungsi sebagai sirip dipasang lekat pada pembuluh yang mengalirkan fluida panas dengan tujuan untuk meningkatkan luas permukaan perpindahan panas dan selanjutnya akan memperbesar laju perpindahan panas (Furqan et al., 2020).

Salah satu tipe dari alat penukar kalor yang banyak dipakai adalah *Shell and Tube Heat Exchanger*. Alat ini terdiri dari sebuah *shell* silindris di bagian luar dan sejumlah *tube* (*tube bundle*) di bagian dalam, dimana temperatur fluida di dalam *tube bundle* berbeda dengan di luar *tube* (di dalam *shell*) sehingga terjadi perpindahan panas antara aliran fluida di dalam

tube dan di luar tube. Adapun daerah yang berhubungan dengan bagian dalam tube disebut dengan *tube side* dan yang di luar dari tube disebut *shell side*.

Blok Cepu yang terdapat di Blora, Jawa Timur, merupakan daerah penting penghasil minyak dan gas bumi. Blok ini memiliki beberapa lapangan migas diantaranya Ledok, Nglolo-Semanggi, Banyuasin, Kawengan, Wonocolo, dsb. Setiap lapangan migas tersebut dikelola oleh bermacam-macam perusahaan migas. Selain terdapat lapangan migas, di Cepu juga terdapat tempat pelatihan dan tempat peraga alat-alat pengolah minyak dan gas bumi.

Metode evaluasi data lapangan selama 5(lima) hari dari *heat exchanger* ini lebih efisien karena kita tidak perlu mengevaluasi data lapangan setiap hari serta kita dapat mengetahui hasil lebih cepat jika dibandingkan dengan menggunakan data selama 1 bulan untuk mengetahui apakah alat penukar panas masih layak digunakan / dioperasikan selama 30 hari kedepan.

Tujuan penulisan ini adalah untuk menentukan besar neraca panas, *Log Mean Temperature Different*, temperatur kalorik, luas daerah aliran, kecepatan aliran massa, bilangan Reynold, faktor perpindahan panas, bilangan Prandtl, koeffisien perpindahan panas, temperatur dinding tube, rasio viskositas, koeffisien perpindahan panas terkoreksi, *clean overall heat transfer coefficient*, *overall heat transfer coefficient design*, faktor pengotoran, *pressure drop*, dan effisiensi efektif dari alat penukar kalor nomor 03 pada PPSDM MIGAS Cepu.

1.1.1. Prinsip Dasar Destilasi Atmosferik

Proses pengolahan minyak bumi di PPSDM Migas Cepu menggunakan Crude Destillation Unit (CDU). Proses ini terjadi di distilasi atmosferik. Unit distilasi atmosferik merupakan suatu unit yang bertugas melaksanakan seluruh rangkaian kegiatan pemisahan minyak mintah (crude oil) menjadi produk produk minyak bumi berdasarkan tekanan satu atmosfer.

1.1.2. Perpindahan Panas

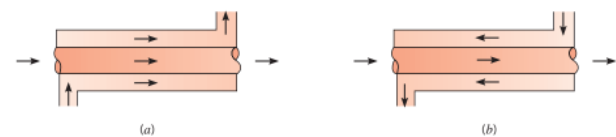
Menurut Kavadya & Ropiudin, (2020) pindah panas adalah perpindahan energi yang diakibatkan oleh perbedaan suhu. Transfer energi sebagai panas merupakan suatu sistem yang memiliki suhu lebih tinggi berpindah ke sistem yang memiliki suhu yang lebih rendah (Hossain, 2011). Perpindahan suhu ini akan berhenti apabila kedua sistem telah memiliki suhu yang sama(Holman, 2005). Pindah panas pada pengeringan terjadi akibat suhu bahan lebih rendah dari pada suhu udara yang dialirkan di sekelilingnya (Holman, 2005). Panas yang diberikan ini akan menaikkan suhu bahan dan menyebabkan tekanan uap air di dalam bahan lebih tinggi dari pada tekanan

uap di udara, sehingga terjadi perpindahan uap air dari bahan ke udara yang merupakan pindah massa Mujumdar, (2006)

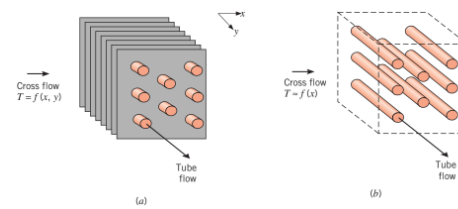
1.1.3. Alat Penukar Panas (Heat Exchanger)

Menurut (Arsana, 2016) alat penukar panas merupakan suatu peralatan yang digunakan untuk mempertukarkan energi dalam bentuk panas antara aliran fluida yang berbeda suhu yang dapat terjadi melalui kontak langsung maupun tidak langsung. Salah satu aplikasi dari prinsip pertukaran panas adalah pada penukar panas jenis pembuluh dan kawat (wire and tube exchangers).

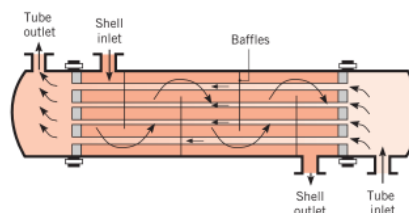
Menurut (BERGMAN et al., 1807) proses pertukaran panas antara dua fluida yang berada pada temperatur yang berbeda dan dipisahkan oleh dinding padat terjadi pada banyak aplikasi teknik. Perangkat yang digunakan untuk menerapkan pertukaran ini disebut penukar panas, dan aplikasi khusus dapat ditemukan dalam pemanas ruangan dan pendingin udara, produksi listrik, pemulihpan panas limbah, dan pemrosesan kimia.



Gambar 1. Penukar panas tabung konsentrasi, (a) Aliran paralel. (b) Arus Balik.



Gambar 2. Penukar panas aliran silang, penukar. (a) Bersirip dengan kedua cairan tidak tercampur. (b) Tanpa sirip dengan satu cairan bercampur dan yang lainnya tidak tercampur.



Gambar 3. Penukar panas shell-and-tube dengan satu shell pass dan satu tube pass (modus operasi cross-counterflow).

1.1.4. Komponen Utama Heat Exchanger

Berikut adalah komponen utama heat exchanger, yaitu:

1.2.4.1. Tube

Tube digunakan sebagai media konduktor panas antara fluida cairan dan dingin. Tube

berdasarkan ukuran diameter pipa dibedakan menjadi diameter luar tube diukur berdasarkan rooms, sedangkan ketebalannya menggunakan BWG standar (Birmingham Wire Gages). Terdapat dua jenis tube yaitu polos dan bersirip.

1.2.4.2. Tube Bundle

Tube Bundle tersusun atas tube yang saling sambung menyambung antara ujung samping pangkal dari tube dalam 1 atau 2 sheet (lembar) Tube bundle merupakan rangkaian penting dalam penukar panas, dan penentuan besarnya kapasitas peralatan.

1.2.4.3. Tube Sheet

Adalah tempat penautan atau pengikatan tube berakhir Tube sheet terbuat dari bahan dengan ketebalan dan jenis yang tergantung dari jenis cairan yang mengalir didalam peralatan.

1.2.4.4. Shell

Shell adalah silinder yang terletak diluar pada bagian penukar panas. Ukuran bentuk shell (ketebalan plat dan diameter) dibatasi oleh ulasan pertimbangan kemampuan seperti penanganan dibidang pemeliharaan dan pembersihan fasilitas.

1.2.4.5. Baffle Plate

Baffle plate dipasang pada sekat tube seperti shell. Adanya sekat (baffle) menyebabkan aliran fluida dalam shell menjadi lebih panjang dan berkelok, sehingga perpindahan panas lebih sempurna dan bisa diatur.

1.2.4.6. Tie Rod

Adalah batang besi yang berbentuk bulat yang memiliki ulir pada kedua ujungnya dan ditempatkan dalam lembar tube (tube sheet).

2. Metode Penelitian

Metode penelitian yang digunakan dalam proses perhitungan Evaluasi Hear Exchanger adalah metode kuantitatif Metode ini dilakukan dengan cara mengambil data yang diperoleh dari Unit Kilang PPSDM Migas selama 5(lima) hari. Data yang telah diperoleh dari Unit Kilang PPSDM Migas diolah sesuai dengan diagram alir prosedur kegiatan dan skema kerja.

2.1. Alat dan Bahan

Alat dan bahan yang digunakan pada penelitian ini seluruhnya berdasarkan data proses produksi dari Unit Kilang di PPSDM Migas yang telah terintegrasi dan telah tersedia, sehingga pengambilan data dapat diperoleh dari

- Data Lapangan
- Control Room
- Laboratorium Unit Kilang
- Buku Literatur

2.3. Analisa Performance Heat Exchanger

Untuk menganalisa performance suatu *Heat Exchanger*, parameter-parameter yang digunakan adalah :

2.3.1. Duty (Q)

Duty merupakan besarnya energi atau panas yang ditransfer per waktu. *Duty* dapat dihitung baik pada fluida dingin atau fluida panas. Apabila *duty* pada saat operasional lebih kecil dibandingkan dengan *duty* pada kondisi desain, kemungkinan terjadi *heat losses, fouling* dalam *tube*, penurunan laju alir (fluida panas atau dingin), dan lain-lain. *Duty* dapat meningkat seiring bertambahnya kapasitas. Untuk menghitung unjuk kerja alat penukar panas, pada dasarnya menggunakan persamaan berikut :

$$Q = W \times Cp \times \Delta T$$

Keterangan :

- Q = Jumlah panas yang dipindahkan (Btu/hr)
 W = Laju alir (lb/hr)
 Cp = Specific heat fluida (Btu/lb oF)
 Δt = Perbedaan temperatur yang masuk dan keluar (oF)

2.3.2. Log Mean Temperature Difference (LMTD)

$$LMTD = \frac{\Delta t_h - \Delta t_c}{\ln \frac{\Delta t_2}{\Delta t_1}}$$

Keterangan :

- Δt_h = Beda temperatur tinggi (oF)
 Δt_c = Beda temperatur rendah (oF)

2.3.3. Uc (Clean Overall Coeficient)

Clean Overall Coeficient merupakan coefficient panas menyeluruh pada awal Heat Exchanger yang dipakai (masih bersih), biasanya ditentukan oleh besarnya tahanan konveksi ho dan hio, sedangkan tahanan konduksi diabaikan karena sangat kecil bila dibandingkan dengan tahanan konveksi.

$$U_c = \frac{h_{io} \times h_o}{h_{io} + h_o}$$

2.3.4. UD (Design/Dirty Overall Coeficient)

Design/Dirty Overall Coeficient merupakan koefisien perpindahan panas menyeluruh setelah terjadi pengotoran pada heat exchanger, besarnya Ud lebih kecil daripada Uc.

$$U_d = \frac{Q_{tube}}{A \times \Delta T LMTD}$$

2.3.5. Heat balance

$$Q = W \cdot Cp \cdot (T_1 - T_2) = w \cdot Cp \cdot (t_1 - t_2)$$

Bila panas yang diterima fluida lebih kecil daripada panas yang dilepaskan fluida panas berarti panas yang hilang lebih besar dan ini mengurangi performance suatu Heat Exchanger.

2.3.6. Fouling factor

Rd atau *Fouling factor* merupakan *resistance* dan *heat exchanger* yang dimaksudkan untuk mereduksi korosifitas akibat dari interaksi antara fluida dengan dinding pipa *heat exchanger*, tetapi setelah digunakan beberapa lama Rd akan mengalami akumulasi (deposited), hal ini tidak baik untuk Heat Exchanger karena Rd yang besar akan menghambat laju perpindahan panas antara hot fluid dan cold fluid. Jika *fouling* tidak dapat dicegah, dibutuhkan pembersihan secara periodik. Beberapa cara pembersihan yaitu secara kimia contohnya pembersihan endapan karbonat dan klorinasi, secara

mekanis contohnya dengan mengikis atau penyikatan dan dengan penyemprotan semprotan air dengan kecepatan sangat tinggi. Pembersihan ini membutuhkan waktu yang tidak singkat sehingga terkadang operasi produksi harus dihentikan.

$$Rd = \frac{U_c - U_d}{U_c \times U_d}$$

Bila Rd (deposited) > Rd (allowed) maka Heat Exchanger tersebut perlu dibersihkan. Rd yang diijinkan sebesar $0,004 \text{ hr.ft}^2 \cdot ^\circ\text{F/Btu}$.

2.3.7. Pressure Drop (ΔP)

Penurunan tekanan baik di shell maupun di tube tidak boleh melebihi batas *pressure drop* yang diizinkan. Tekanan dalam heat exchanger, merupakan *Driving Force* bagi aliran fluida di shell maupun di tube, jika pressure drop lebih besar dari yang diizinkan maka akan menyebabkan laju alir massa (lb/hr) inlet fluida di shell dan di tube jauh berbeda dengan laju alir massa outlet masing-masing fluida. Hal ini akan menurunkan performance dari Heat Exchanger tersebut. Pressure drop pada shell dapat dirumuska sebagai berikut :

$$\Delta Ps = \frac{f \times Gs^2 \times (N+1)}{5,225 \times 10^{10} \times De \times SG_{60}^{60} \times \emptyset s}$$

Pressure drop pada tube dapat dirumuska sebagai berikut :

$$\Delta Pt = \frac{f \times Gt^2 \times L \times N}{5,225 \times 10^{10} \times ID \times SG_{60}^{60} \times \emptyset t}$$

Keterangan :

F = fanning friction factor

Gs = laju aliran massa per satuan luas dalam shell

N = jumlah pass/ laluan tube

D = diameter dalam tube

Sg = specific gravity

Penurunan tekanan baik di shell maupun di tube tidak boleh melebihi batas *pressure drop* yang diizinkan. Tekanan dalam *heat exchanger*, merupakan *driving force* bagi aliran fluida di shell maupun di tube, jika pressure drop lebih besar dari yang diizinkan maka akan menyebabkan laju alir massa inlet fluida di tube jauh berbeda dengan laju alir massa outlet masing-masing fluida. Hal ini akan menurunkan performance dari heat exchanger tersebut.

Dalam menganalisa performance shell dan tube heat exchanger diasumsikan :

1) Terdapat *heating surface* yang sama pada setiap pass.

2) *Overall Coefficient Heat Transfer* (U_c) adalah konstan.

3) Laju alir massa fluida di shell dan di tube adalah konstan.

4) *Specific Heat* dari masing-masing fluida adalah konstan.

5) Tidak ada perubahan fasa penguapan pada setiap bagian dari *heat exchanger*.

6) *Heat Loss* diabaikan.

2.4. Skema Kerja



3. Hasil dan Pembahasan

3.1. Spesifikasi Heat Exchanger Pada PPDSM MIGAS CEPU

Tabel 1. Spesifikasi Heat Exchanger Nomor 03 PPDSM MIGAS Cepu

| No. | Uraian | Notasi | Satuan | HE-02 |
|------------------------|--------------------|--------|--------|-----------|
| Shell | | | | |
| 1 | Diameter Luar | Ods | Inchi | 31,614 |
| 2 | Diameter Dalam | ID | Inchi | 30,374 |
| 3 | Jumlah Baffle | N | Buah | 4 |
| 4 | Jarak Antar Baffle | B | Inchi | 23,623 |
| 5 | Jumlah Passes | N | | 1 |
| 6 | Jenis Fluida | | | Solar |
| Tube | | | | |
| 1 | Diameter Luar | Odt | Inchi | 1 |
| 2 | Panjang Tube | L | Feet | 10 |
| 3 | Jumlah Tube | Nt | Buah | 400 |
| 4 | BWG | | | 14 |
| 5 | Pitch | Pt | Inchi | 1,25 |
| 6 | Jarak Antar Tube | C' | Inchi | 0,25 |
| 7 | Jumlah Passes | N | | 1 |
| 8 | Jenis Fluida | | | Crude Oil |
| Tahun Pembuatan | | | | 2009 |

3.2. Analisa Efisiensi Heat Exchanger Nomor 3

a) Data Lapangan

Tabel 2. Data Lapangan Bagian Shell

| Shell (Solar) | | | | |
|---------------|---------------------------|--------------------------------|---------------------------------|--------------------------------------|
| Tanggal | Kapasitas / Hari Vs (L/D) | Suhu Masuk T ₁ (°C) | Suhu Keluar T ₂ (°C) | Densitas (ρ) 15°C, kg/m ³ |
| 11 April 2022 | 185.834 | 195 | 143 | 0,8456 |
| 12 April 2022 | 178.884 | 195 | 148 | 0,8433 |
| 13 April 2022 | 145.359 | 212 | 155 | 0,8538 |
| 14 April 2022 | 183.232 | 220 | 155 | 0,8466 |
| 15 April 2022 | 155.430 | 212 | 138 | 0,8578 |
| Rata - rata | 169.748 | 206,8 | 147,8 | 0,8494 |

Tabel 3. Data Lapangan Bagian Tube

| Tube (Crude Oil) | | | | |
|------------------|---------------------------|--------------------------------|---------------------------------|--------------------------------------|
| Tanggal | Kapasitas / Hari Vs (L/D) | Suhu Masuk t ₁ (°C) | Suhu Keluar t ₂ (°C) | Densitas (ρ) 15°C, kg/m ³ |
| 11 April 2022 | 275.241 | 60 | 90 | 0,8416 |
| 12 April 2022 | 271.566 | 60 | 86 | 0,8416 |
| 13 April 2022 | 283.601 | 61 | 87 | 0,8423 |
| 14 April 2022 | 278.164 | 60 | 86 | 0,8423 |
| 15 April 2022 | 281.913 | 53 | 85 | 0,8423 |
| Rata - rata | 278.097 | 70,6 | 86,8 | 0,8420 |

b) Analisa Perhitungan

Tabel 4. Analisa Perhitungan Heat Exchanger Nomor 03

| SHELL (SOLAR) | TUBE (CRUDE OIL) | |
|--|--|--|
| T_1 (Masuk) = 206,8 °F T_2 (Keluar) = 147,8 °F V solar = 169.748 m ³ /hari | t_1 (Masuk) = 70,6 °F t_2 (Keluar) = 86,8 °F V crude oil = 278.097 m ³ /hari | |
| 1) Kecepatan Aliran (Ws) | 1) Kecepatan Aliran (Wt) | |
| $Ws = V_{\text{solar}} \times \rho_s$ $Ws = \frac{169.748 \text{ L}}{\text{hari}} \times \frac{1 \text{ hari}}{24 \text{ jam}} \times 0,842 \frac{\text{kg}}{\text{L}} \times 2,2046 \frac{\text{lb}}{\text{kg}}$ $Ws = 13129,11 \frac{\text{lb}}{\text{jam}}$ | $Wt = V_{\text{crude oil}} \times \rho_t$ $Wt = \frac{278.097 \text{ m}^3}{\text{hari}} \times \frac{1 \text{ hari}}{24 \text{ jam}} \times 847,200 \frac{\text{kg}}{\text{m}^3} \times 2,2046 \frac{\text{lb}}{\text{kg}}$ $Wt = 21637,06 \frac{\text{lb}}{\text{jam}}$ | |
| 2) SG solar | 2) SG crude oil | |
| $SG_{\text{solar}} = \frac{\rho_s}{\rho_{\text{air}}} = \frac{842,430 \frac{\text{kg}}{\text{m}^3}}{997 \frac{\text{kg}}{\text{m}^3}}$ $SG_{\text{solar}} = 0,845$ | $SG_{\text{crude oil}} = \frac{\rho_t}{\rho_{\text{air}}} = \frac{847,200 \frac{\text{kg}}{\text{m}^3}}{997 \frac{\text{kg}}{\text{m}^3}}$ $SG_{\text{crude oil}} = 0,850$ | |
| 3) Suhu rata-rata (T_{av}) | 3) Suhu rata-rata (t_{av}) | |
| $T_{\text{av}} = \frac{T_1 + T_2}{2} = \frac{206,8 \text{ °F} + 147,8 \text{ °F}}{2}$ $T_{\text{av}} = 177,3 \text{ °F}$ | $t_{\text{av}} = \frac{t_1 + t_2}{2} = \frac{70,6 \text{ °F} + 86,8 \text{ °F}}{2}$ $t_{\text{av}} = 78,7 \text{ °F}$ | |
| ^o API | ^o API | |
| ${}^{\circ}\text{API} = \frac{141,5}{Sg_{60} / 60^{\circ}\text{F}} - 131,5$ | ${}^{\circ}\text{API} = \frac{141,5}{Sg_{60} / 60^{\circ}\text{F}} - 131,5$ | |
| ${}^{\circ}\text{API} = \frac{141,5}{SG_{\text{solar}}} - 131,5$ | ${}^{\circ}\text{API} = \frac{141,5}{SG_{\text{crude oil}}} - 131,5$ | |
| ${}^{\circ}\text{API} = \frac{141,5}{0,845} - 131,5$ | ${}^{\circ}\text{API} = \frac{141,5}{0,850} - 131,5$ | |
| ${}^{\circ}\text{API} = 35,956$ | ${}^{\circ}\text{API} = 34,971$ | |
| Cp = 0,51 Btu/lb°F (gambar 4. Kern) | cp = 0,45 Btu/lb°F | |
| 3) Menghitung panas yang dibutuhkan (qs) | 4) Menghitung panas yang dibutuhkan (qt) | |
| $qs = Ws \times Cp \times (T_1 - T_2)$ $qs = 13129,11 \frac{\text{lb}}{\text{jam}} \times 0,51 \frac{\text{Btu}}{\text{lb } {}^{\circ}\text{F}} \times (206,8 - 147,8) {}^{\circ}\text{F}$ $qs = 395054,9199 \frac{\text{Btu}}{\text{jam}}$ | $qt = Ws \times Cp \times (T_2 - T_1)$ $qt = 21637,06 \frac{\text{lb}}{\text{jam}} \times 0,45 \frac{\text{Btu}}{\text{lb } {}^{\circ}\text{F}} \times (86,8 - 70,6) {}^{\circ}\text{F}$ $qt = 157734,1674 \frac{\text{Btu}}{\text{jam}}$ | |
| 5) Menghitung neraca panas | | |
| $Q = qs - qt$ $Q = 395054,9199 \frac{\text{Btu}}{\text{jam}} - 157734,1674 \frac{\text{Btu}}{\text{jam}}$ $Q = 237316,7525 \frac{\text{Btu}}{\text{jam}}$ | | |
| $Losses = \frac{Q}{qs} = \frac{237316,7525 \frac{\text{Btu}}{\text{jam}}}{395054,9199 \frac{\text{Btu}}{\text{jam}}} \times 100\% = 60\%$ | | |
| 6) Menghitung Log Mean Temperature difference (LMTD) | | |
| Shell (solar) | Tube (crude oil) | ΔT |
| T ₁ = 206,8 | t ₂ = 86,8 | Δt _h = 120 |
| T ₂ = 147,8 | t ₁ = 70,6 | Δt _c = 77,2 |
| Δt _h = 59 | Δt = 16,2 | Δt _h - Δt _c = 42,8 |
| LMTD = $\frac{\Delta t_h - \Delta t_c}{\ln \frac{\Delta t_2}{\Delta t_1}} = \frac{42,8}{\ln \frac{120}{77,2}} = 97,0318 {}^{\circ}\text{F}$ | | |
| R = $\frac{T_1 - T_2}{t_2 - t_1} = \frac{206,8 - 147,8}{86,8 - 70,6} = 3,642$ | | |
| S = $\frac{t_2 - t_1}{T_1 - T_2} = \frac{86,8 - 70,6}{206,8 - 147,8} = 0,1189$ | | |
| FT = 0,9826 (gambar 18. Kern) | | |
| ΔTLMTD = FT x LMTD = 0,9826 x 97,0318 = 95,3434 °F | | |
| 7) Menentukan Faktor Kontroling Fluida (ke solar) dan friksi kalor (fc) | | |
| $\frac{\Delta t_c}{\Delta t_h} = \frac{77,2}{120} = 0,6433$ | | |
| *berdasarkan gambar 17. Kern, diperoleh | | |
| Kc = 0,17 | | |
| fc = 0,44 | | |

| | | |
|---|---|---|
| 4) Menghitung suhu kalor Tc = T2 + (fc x (T1 - T2)) Tc = 147,8 + (0,44 x (206,8 - 147,8)) Tc = 173,76 °F | 8) Menghitung suhu kalor tc = t1 + (fc x (t2 - t1)) tc = 70,6 + (0,44 x (86,8 - 70,6)) tc = 77,728 °F | 12) Menghitung suhu dinding luar tube (tw) $\frac{h_{io}}{\theta t} = \frac{hi}{\theta t} \times \frac{idt}{OD}$ $h_{io} = 8,3985 \frac{btu}{jam \cdot ^\circ F ft^2} \times \frac{0,834 in}{1 in}$ $\frac{h_{io}}{\theta t} = 7,004349 \frac{btu}{jam \cdot ^\circ F ft^2}$ $tw = tc + \frac{h_{io}}{\frac{hs}{ds} + \frac{h_{io}}{\theta t}} \times (Tc - tc)$ $tw = 77,728 \frac{^\circ F}{27,7803} + \frac{27,7803}{27,7803 \frac{btu}{jam \cdot ^\circ F ft^2} + 7,004349 \frac{btu}{jam \cdot ^\circ F ft^2}} \times (173,76 \frac{^\circ F}{27,7803} - 77,728 \frac{^\circ F}{27,7803})$ $tw = 154,42269$ |
| 9) Menghitung flow area shell (As) dan diameter ekuivalen (De) Diketahui : Diameter dalam (ID) = 30,748 Inch Pitch (Pt) = 1,25 in Tube clearance (C") = Pt - OD = 1,25 - 1 = 0,25 in Jarak antar buffer (B) = 23,623 in $A_s = \frac{ID \times C'' \times B}{144 \times Pt}$ $A_s = \frac{30,748 \text{ inc} \times 0,25 \text{ in} \times 23,623 \text{ in}}{144 \text{ in}^2 \times 1,25 \text{ inc}}$ $A_s = 1,0088 ft^2$ *Berdasarkan gambar 28. Kern, diketahui OD = 1 in, Pt triangular = 1,25 in. Diperoleh : De = 0,72 in = $\frac{0,72}{12}$ ft = 0,06 ft | 9) Menghitung flow area tube (At) Diketahui : Jumlah tube (Nt) = 400 Jumlah pass (n) = 1 Diameter dalam (OD) = 1 in BWG = 14 Didapatkan flow area pertube (At') = 0,546 in ²(kern, table 10) $A_t = \frac{Nt \times At'}{144 \times n}$ $A_t = \frac{400 \times 0,546 \text{ in}^2}{144 \text{ in}^2 \times 1}$ $A_t = 1,5167 ft^2$ Pada 1 in OD tubes dan BWG = 14, diperoleh : $IDt = 0,834 \text{ in} = \frac{0,834}{12} = 0,0695 \text{ ft}$ | 13) Menghitung koefisien transfer panas bagian shell (ho) tw = 154,42269 °API = 35,956; diperoleh data : 35 °API = (x = 10 ; y = 20) Maka $\mu = 2,15 \text{ cp}$ 42 °API = (x = 11,6 ; y = 16) Maka $\mu = 0,94 \text{ cp}$ Untuk mencari μ pada °API = 35,956, dilakukan dengan cara interpolasi sebagai berikut : $\frac{42 - 35,956}{42 - 35} = \frac{x - 2,15}{0,94 - 2,15}$ $\mu_w(x) = 1,10525 \text{ cp}$ $\mu_w(x) = 1,10525 \times 2,42 \frac{lb}{ft \cdot jam}$ $\mu_w(x) = 2,67471 \frac{lb}{ft \cdot jam}$ $\theta s = (\frac{\mu}{\mu_w})^{0,14}$ $\theta s = (\frac{3,86837 \frac{lb}{ft \cdot jam}}{2,67471 \frac{lb}{ft \cdot jam}})^{0,14}$ $\theta s = 1,05302$ $ho = \frac{ho}{\theta s}$ $ho = 27,7803 \frac{btu}{jam \cdot ^\circ F ft^2} \times 1,05302$ $ho = 29,25321 \frac{btu}{jam \cdot ^\circ F ft^2}$ 14) Menghitung koefisien transfer panas bagian shell (hi) tw = 154,42269 °API = 34,971; diperoleh data : 34 °API = (x = 10,3 ; y = 21,3) Maka $\mu = 1,95 \text{ cp}$ 35 °API = (x = 10 ; y = 20) Maka $\mu = 2,15 \text{ cp}$ Untuk mencari μ pada °API = 34,971, dilakukan dengan cara interpolasi sebagai berikut : $\frac{35 - 34,971}{35 - 34} = \frac{x - 1,95}{2,15 - 1,95}$ $\mu_w(x) = 1,9558 \text{ cp}$ $\mu_w(x) = 1,9558 \times 2,42 \frac{lb}{ft \cdot jam}$ $\mu_w(x) = 4,73304 \frac{lb}{ft \cdot jam}$ $\theta t = (\frac{\mu}{\mu_w})^{0,14}$ $\theta t = (\frac{10,56282 \frac{lb}{ft \cdot jam}}{4,73304 \frac{lb}{ft \cdot jam}})^{0,14}$ $\theta t = 1,11895$ $hi = \frac{hi}{\theta t}$ $hi = 7,004349 \frac{btu}{jam \cdot ^\circ F ft^2} \times 1,11895$ $hi = 7,83752 \frac{btu}{jam \cdot ^\circ F ft^2}$ |
| 10) Menghitung kecepatan massa (Gs) $Gs = \frac{ws}{As}$ $Gs = \frac{13129,11 \text{ lb/jam}}{1,0088 \text{ ft}^2}$ $Gs = 13014,5817 \frac{lb}{jam \cdot ft^2}$ 10) Menentukan bilangan reynold *Berdasarkan gambar viscositas of petroleum dan gambar 14 dengan : Tc = 173,76 °F °API = 35,956; diperoleh data : 35 °API = (x = 10 ; y = 20) Maka $\mu = 1,72 \text{ cp}$ 42 °API = (x = 11,6 ; y = 16) Maka $\mu = 0,83 \text{ cp}$ Untuk mencari μ pada °API = 35,956, dilakukan dengan cara interpolasi sebagai berikut : $\frac{42 - 35,956}{42 - 35} = \frac{0,83 - x}{0,83 - 1,72}$ $\mu(x) = 1,5985 \text{ cp}$ $\mu(x) = 1,5985 \times 2,42 \frac{lb}{ft \cdot jam}$ $\mu(x) = 3,86837 \frac{lb}{ft \cdot jam}$ $Res = \frac{De \times Gs}{\mu}$ $Res = \frac{0,06 \text{ ft} \times 13014,5817 \frac{lb}{jam \cdot ft^2}}{3,86837 \frac{lb}{ft \cdot jam}}$ $Res = 201,8615$ 12) Menghitung koefisien perpindahan panas lapisan film pada bagian luar shell (ho) *Berdasarkan gambar 4 dengan data : Tc = 173,76 °F °API = 35,956 diperoleh Cp = 0,515 $\frac{btu}{lbf \cdot ^\circ F}$ dan gambar 1 diperoleh k = 0,0773 $\frac{Btu}{jam \cdot ft \cdot ^\circ F}$ *Berdasarkan gambar 28. Kern dengan Res = 201,8615 Diperoleh jH = 7,3 $\frac{ho}{ds} = jH \times \frac{k}{De} \times [\frac{Cp \times \mu}{k}]^{1/3}$ | 10) Menghitung kecepatan massa (Gt) $Gt = \frac{ws}{At}$ $Gt = \frac{21637,06 \text{ lb/jam}}{1,5167 \text{ ft}^2}$ $Gt = 14265,8799 \frac{lb}{jam \cdot ft^2}$ 11) Menentukan bilangan reynold *Berdasarkan gambar viscositas of petroleum dan gambar 14 dengan : tc = 77,728 °F °API = 34,971; diperoleh data : 34 °API = (x = 10,3 ; y = 21,3) Maka $\mu = 5,53 \text{ cp}$ 35 °API = (x = 10 ; y = 20) Maka $\mu = 4,33 \text{ cp}$ Untuk mencari μ pada °API = 34,971, dilakukan dengan cara interpolasi sebagai berikut : $\frac{35 - 34,971}{35 - 34} = \frac{4,33 - x}{4,33 - 5,53}$ $\mu(x) = 4,3648 \text{ cp}$ $\mu(x) = 4,3648 \times 2,42 \frac{lb}{ft \cdot jam}$ $\mu(x) = 10,56282 \frac{lb}{ft \cdot jam}$ $Ret = \frac{idt \times Gt}{\mu}$ $Ret = \frac{0,0695 \text{ ft} \times 14265,8799 \frac{lb}{jam \cdot ft^2}}{10,56282 \frac{lb}{ft \cdot jam}}$ $Ret = 93,8650$ 12) Menghitung koefisien perpindahan panas lapisan film pada bagian luar tube (hi) *Berdasarkan gambar 4 dengan data : tc = 77,728 °F °API = 34,971 diperoleh Cp = 0,482 $\frac{btu}{lbf \cdot ^\circ F}$ dan gambar 1 diperoleh k = 0,0781 $\frac{Btu}{jam \cdot ft^2 \cdot ^\circ F}$ $\frac{L}{idt} = \frac{10 \text{ ft}}{0,0695 \text{ ft}} = 143,8849$ *Berdasarkan gambar 24. Kern dengan : $\frac{L}{idt} = 143,8849$ Ret = 93,8650 Diperoleh jH = 1,9 $\frac{hi}{\theta t} = jH \times \frac{k}{idt} \times [\frac{Cp \times \mu}{k}]^{1/3}$ | 14) Menghitung koefisien bersih $Uc = \frac{hi \times ho}{hi + ho}$ $Uc = \frac{7,83752 \times 29,25321}{7,83752 + 29,25321}$ $Uc = 6,18140 \frac{btu}{jam \cdot ^\circ F ft^2}$ 15) Menghitung koefisien desain (Ud) Dari data diketahui, OD tube = 1 in, BWG = 14, maka didapat a" = 0,2618 ft A = Nt x L x a" A = 400 x 10 ft x 0,2618 ft A = 1047,2 ft ² $Ud = \frac{Q \text{ tube}}{A \times \Delta T LMTD}$ $Ud = \frac{237316,7525 \frac{Btu}{jam}}{1047,2 \text{ ft} \times 95,3434 \frac{^\circ F}{Btu}}$ $Ud = 2,3769 \frac{btu}{jam \cdot ^\circ F ft^2}$ 16) Menghitung nilai Rd $Rd = \frac{Uc - Ud}{Uc \times Ud}$ $Rd = \frac{6,18140 - 2,3769}{6,18140 \times 2,3769}$ $Rd = 0,25894 \frac{btu}{jam \cdot ^\circ F ft^2}$ 17) Menghitung efisiensi HE-3 $\eta = \frac{qt}{qs} \times 100\%$ $\eta = \frac{157734,1674 \frac{Btu}{jam}}{39504,9199 \frac{Btu}{jam}} \times 100\%$ $\eta = 39,927\%$ |

| | |
|--|---|
| 18) Menghitung pressure drop penurunan tekanan bagian shell (ΔP_s) | 19) Menghitung pressure drop penurunan tekanan bagian tube (ΔP_t) |
| Res = 201,8615 | Ret = 93,8650 |
| Dari gambar 29 diperoleh : f = | Dari gambar 29 diperoleh : f = |
| $0,0045 \frac{ft^2}{in^2}$ | $0,0064 \frac{ft^2}{in^2}$ |
| ${}^\circ API = 35,956$ | ${}^\circ API = 34,971$ |
| Tc = 173,76 °F | L = 10 ft |
| SG _{solar} 60/60 °F = 0,845 | N = 1 buah |
| De = 0,06 ft | SG _{crude oil} = 0,850 |
| Gs = $13014,5817 \frac{lb}{jam \ ft^2}$ | IDt = 0,0695 ft |
| $\varnothing_s = 1,05302$ | Gt = $14265,8799 \frac{lb}{jam \ ft^2}$ |
| Jumlah crosses | $\varnothing_t = 1,11895$ |

Tabel 5. Hasil Perhitungan Analisa Heat Exchanger Nomor 03

| | |
|--|---|
| Efisiensi Heat Exchanger | 39,927% |
| Losses | 60 % |
| Ud ($\frac{\text{btu}}{\text{jam}^{\circ}\text{Fft}^2}$) | 2,3769 $\frac{\text{btu}}{\text{jam}^{\circ}\text{Fft}^2}$ |
| Uc ($\frac{\text{btu}}{\text{jam}^{\circ}\text{Fft}^2}$) | 6,18140 $\frac{\text{btu}}{\text{jam}^{\circ}\text{Fft}^2}$ |
| Rd | 0,25894 $\frac{\text{btu}}{\text{jam}^{\circ}\text{Fft}^2}$ |
| ΔPs (psi) | 0,00139 psi |
| ΔPt (psi) | 0,00377 psi |

4. Simpulan

Dari hasil pengujian yang telah dilaksanakan maka dapat disimpulkan bahwa data dari lapangan yang didapat saat dilakukan perhitungan, diperoleh efisiensi alat *heat exchanger* nomor 03 di kilang PPSDM MIGAS Cepu adalah 39,927% dengan *losses* sebesar 60%. Yang artinya *heat exchanger* nomor 03 masih layak digunakan atau dioperasikan karena tidak melebihi pressure drop yang diizinkan. Nilai pressure drop yang diizinkan sebesar 10 Psi.

Daftar Pustaka

Arsana, I. M. (2016). *PENGARUH JARAK ANTAR KAWAT TERHADAP EFISIENSI PENUKAR PANAS*

JENIS PEMBULUH DAN KAWAT KONVEKSI BEBAS. 21, 142–153. <https://doi.org/10.3005-34395-1-PB>

BERGMAN, T., LAVINE, A., INCOPERA, F., & DEWITT, D. (1807). *Fundamentals of Heat and Mass Transfer 7th Edition - Incropera* (R. Marchione, Ed.; 7th ed.).

Furqan, M., Syukran, S., & Sariyusda, S. (2020). Kaji Eksperimental Dan Analisa Kinerja Penukar Panas Udara Type Shell and Tube Jenis Aliran Berlawanan. *Jurnal Mesin Sains Terapan*, 4(1), 57. <https://doi.org/10.30811/jmst.v4i1.1746>

Holman, J. P. (2005). *Heat Transfer Tenth Edition*. 120.

Hossain, M. (2011). *Heat and Mass Transfer: Modeling and Simulation*. InTech.

Kavadya, S., & Ropiudin. (2020). *Perpindahan Panas pada Pengering Tipe Drum Berputar pada Kondisi Tanpa Beban*. 3(1), 1–15.

Mujumdar, A. (2006). *HANDBOOK OF INDUSTRIAL DRYING* (3rd ed.). by Taylor & Francis Group.